

# بررسی تجربی اثر تیغه‌های فولادی در کاهش ارتفاع موج سیال در مخازن استوانه‌یی فولادی رو زمینی به کمک آزمایش میز لرزان

مجتبی کی؛ور سنگسری\* (دانشجوی کارشناسی ارشد)

دانشکده‌ی فنی و هندسی، دانشگاه آزاد اسلامی واحد علوم و تحقیقات تهران

نقده‌ی حسین‌زاده (استادیار)

حیدر توکلیان فردوسیه (دانشجوی کارشناسی ارشد)

پژوهشگاه بین‌المللی زلزله‌شناسی و هندسی زلزله

مهمشی عمان شرف، (جمهوری اسلامی ایران)، دوری ۳، شماره ۱ / ۴، ص. ۳۹۴-۴۰۳، پایا اشت دی

هدف از این پژوهش، مطالعه‌ی کاهش ارتفاع تلاطم سیال در مخازن ذخیره‌ی فولادی روزمینی با استفاده از تیغه‌های میراگر فولادی حلقوی (بل) است، که به دیواره‌ی مخزن متصل شده باشند. در این پژوهش، یک مخزن نمونه‌ی مقیاس شده با ضریب مقیاس هندسی ( $\lambda_L = 1 : 16$ ) به عنوان نماینده‌ی مخازن مهارشده مورد بررسی آزمایشگاهی روی میز لرزان قرار گرفته است. که در آن نسبت ارتفاع سیال به قطر مخزن متفاوت در نظر گرفته شده است. آزمایش‌ها به وسیله‌ی میز لرزان در حالات با و بدون حضور بغل صورت پذیرفته است. سه رکورد زلزله‌ی واقعی پس از مقیاس‌بندی به عنوان تحریک ورودی مدل توسط میز لرزان تولید شده است. نتایج این پژوهش نشان می‌دهد که بغل‌ها آثار قابل ملاحظه‌ی در کاهش ارتفاع تلاطم سیال دارند، و بنابراین به عنوان میراگرهای متغیر در مخازن مورد نظر قابل استفاده هستند.

**واژگان کلیدی:** مخازن ذخیره‌ی فولادی رو زمینی، تیغه‌های میراگر (بل)، تلاطم سیال، میز لرزان.

## ۱. مقدمه

۱۹۸۲، با استفاده از روش‌های عددی، مسئله‌ی اندرکنش سیال و سازه را تحلیل و نهایتاً مدل ساده‌شده‌ی ارائه کردند، که اثر انعطاف‌پذیری دیواره‌ی مخزن در آن لحاظ شده بود.<sup>[۱]</sup>

اصولاً می‌توان خسارت‌های وارد به مخزن را به ۷ مود اصلی شکست تقسیم کرد، که عبارت‌اند از: واژگونی، کمانش کشسان جداره، لغزش مخزن، کمانش پافیلی (کشسان خمیری) جداره، آسیب‌پذیری سقف، بلندشدن کف، و نشست نامقابران بستر، خلاصه‌یی از مدهای شکست مخازن به‌این شرح است:<sup>[۲]</sup>

۱. واژگونی: وقتی نسبت ارتفاع به قطر زیاد می‌شود، پایداری مخزن در برابر نیروهای جانبی زلزله کاهش می‌یابد. عملت این پدیده، بالا بودن ارتفاع مرکز نقل مخزن است.

۲. کمانش کشسان جداره: مخازن با ارتفاع زیاد با نسبت ارتفاع به قطر زیاد معمولاً دچار این چنین آسیبی می‌شوند، به طوری که بخشی از جداره‌ی قائم مخزن دچار کمانش می‌شود.

۳. لغزش مخزن: همان‌طور که از نام این مکانیزم خرابی می‌توان استنباط کرد، نیروی

مخازن استوانه‌یی رو زمینی فولادی یکی از پرکاربردترین سازه‌های مورد استفاده در پالایشگاه‌ها، کارخانجات صنعتی، و... هستند؛ که زلزله‌های گذشته، نشان از آسیب‌پذیری بالای سازه‌های مذکور در خلال این پدیده‌ی طبیعی دارند. رفتار دینامیکی مخازن، اولین بار توسط هاووزنر مدل سازی شده و مبنای آین نامه‌های طراحی قرار گرفته است. وی چنین عنوان کرده است که در یک مخزن با سطح آزاد که در معرض شتاب جانبی دینامیکی قرار دارد، سیال از دو طریق بر روی جداره اثر می‌گذارد: ۱. فشار نوسانی، ۲. فشار ضربانی. فشار نوسانی، در اثر حرکت سیال مواجه در بالای مخزن پدید می‌آید و فشار ضربانی، در اثر حرکت قسمتی از سیال پایین مخزن و هماهنگ با پوسته ایجاد می‌شود. در حقیقت، بسامد حرکت نوسانی به میزان قابل توجهی پایین ترازو بسامد حرکت ضربانی است، بدین معنی که این مود در دوره‌های تناوب بالای زلزله تحریک می‌شود.<sup>[۳]</sup>

با وقوع زمین‌لرزه‌ی آلسکا در سال ۱۹۶۴، خسارت‌های شدیدی به مخازن سیال وارد شده است، که بیشتر خسارت‌های واردشده ناشی از عدم درنظرگرفتن آثار انعطاف‌پذیری دیواره‌ی مخازن در طراحی آنها بوده است. برخی پژوهشگران در سال

\* نویسنده مسئول

تاریخ: دریافت ۱۱/۶/۱۳۹۲، اصلاحیه ۲۰/۱۰/۱۳۹۳، پذیرش ۲۱/۲/۱۳۹۴.

تحلیلی با استفاده از کار حاصل از نیروی درگ وارد بر جریان از طرف تیغه و نیز نسبت آن به کل انرژی نوسانی مابعد محاسبه شده است (رابطه ۱). همچنین در پژوهش دیگری در سال ۱۹۶۰<sup>[۱]</sup> رابطه ۱ که به صورت تابعی از دامنه تلاطم سیال بوده است، به صورت تابعی از نیروی افقی تلاطم بیان شده است.

$$\xi_{sw} = \frac{4,98}{2\pi} \sqrt{\frac{v}{R^{1.8} g^{0.8}}} \left[ 1 + \frac{0.318}{\sinh(\frac{0.84h}{R})} \left( 1 + \frac{1 - (\frac{h}{R})}{\cosh(\frac{0.84h}{R})} \right) \right] \quad (1)$$

که در آن،  $v$  میرایی جداری صاف (ضریب میرایی ویسکوز)،  $n$  ویسکوزیته کینماتیکی سیال،  $R$  شعاع مخزن، و  $h$  ارتفاع موج هستند. ضریب  $k$  یک ضریب عددی است، که مقادیر آن وابسته به هندسه مخزن و سطح پرشگی است و برای مخازن استوانه‌یی برابر ۱ است.

همچنین برخی پژوهشگران<sup>[۲]</sup>، آزمایش‌هایی با تیغه‌های رینگی برای مشاهده اثر مقادیر مختلف عرض و ارتفاع تیغه و همچنین اثر ارتفاع تلاطم در میرایی و بسامد تلاطم انجام داده‌اند.<sup>[۳]</sup> پژوهشگران دیگری<sup>[۴]</sup> نیز ضریب میرایی حاصل از دو تیغه را مورد آزمایش قرار داده‌اند.<sup>[۵]</sup>

مسئله تلاطم در مخازن استوانه‌یی با/بدون حضور تیغه نیز در پژوهش دیگری<sup>[۶]</sup> به صورت عددی مطالعه و حرکت غیرخطی سطح آزاد سیال با توجه به تلاطم سیال در تانکرهای نیمه‌بُر مورد بررسی قرار گرفته است. برخی پژوهشگران نیز تلاطم سیال را تحت بار ضربه‌ی توسط روش تفاضل محدود به صورت ۲ و ۳ بعدی در تانکرهای حمل سوت خود مورد تحلیل قرار داده و معادلات ناویر-استوکس را با مرز آزاد و با حل و فشار ضربه در دو حالت با و بدون تیغه مقایسه کردند.<sup>[۷]</sup> نیز تأثیر تیغه‌های رینگی در تلاطم غیرخطی در پژوهش دیگری<sup>[۸]</sup> نیز تأثیر تیغه‌های رینگی در تلاطم غیرخطی

در دو مخزن استوانه‌یی و مستطیلی با استفاده از روش المان محدود بررسی و نتایج نشان داده شده است که هر چه تیغه به سطح سیال نزدیک‌تر باشد، تأثیر بیشتری در بسامد تلاطم خواهد داشت. علاوه بر این باید توجه شود که پدیده تلاطم در صورتی که بسامد تلاطم در نزدیکی بسامد مخزن باشد، دیگر به صورت خطی نخواهد بود. همچنین برخی پژوهشگران<sup>[۹]</sup> جریان سیال را به صورت ۳ بعدی و ۲ فازی به صورت عددی و برای شبیه‌سازی اغتشاش تلاطم سیال در مخازن با و بدون تیغه مدل کرده و مورد مطالعه قرار داده و مفهوم روش حجم مرزی محدود (VBF) برای مدل سازی تیغه‌ی داخلی را استفاده کرده‌اند. پژوهشگران دیگری<sup>[۱۰]</sup> نیز مدل سازی ۳ بعدی عددی را برای مطالعه تلاطم سیال تحت تحریک بسامد تشدید در مخزن مطالعه و تأکید کرده‌اند که تیغه‌های رینگی، ابزاری مؤثر برای کاهش دامنه تلاطم اغتشاش است.

همچنین در سال ۲۰۰۶ پژوهشگران، به بررسی تحلیلی رابطه‌ی بین بسامد نوسانات، عرض تیغه و موقعت عمودی تیغه درون مخزن استوانه‌یی شکل پرداخته و رابطه‌ی برای بررسی رفتار غیرخطی آثار تیغه در مخزن را ارائه کرده‌اند. است، که قابلیت بررسی در موقعیت‌ها و سایزهای مختلف را داشته است.<sup>[۱۱]</sup> پژوهشگرانی نیز در سال ۲۰۰۷<sup>[۱۲]</sup> به بررسی کاهش پاسخ لرزه‌یی مخازن با استفاده از جداساز لرزه‌یی پرداخته و نشان داده‌اند که استفاده از جداساز باعث ایجاد جابه‌جاوی‌یی سیستمی بزرگ‌تری می‌شود و برای کاهش این آثار در یک سیستم به میرایی بالاتر نیاز است، و تیغه‌های فولادی نقش مهمی در تعدیل حرکت مابعد ایجاد می‌کنند. همچنین پژوهشگران در سال ۲۰۰۷<sup>[۱۳]</sup>، نسبت میرایی هیدرودینامیک تلاطم سیال را با استفاده از راه حل معادله‌ی لاپلاس در مخزن دارای تیغه، تحت تحریک افقی آزمایش کرده و آن را بدست آورده‌اند.<sup>[۱۴]</sup> نتایج به دست آمده بیان‌گر تأثیر بیشتر

بررسی بزرگ در مقابل نیروی اصطکاک باعث این پدیده است و مخزن در تراز پایه دچار لغزش می‌شود.

۴. کمانش پافیلی (کشسان خمیری) جداره: این نوع آسیب در جداره‌ی قائم مخزن و بیشتر به علت افزایش قابل توجه تنش‌های فشاری قائم جداره در اثر بلندشدنگی رخ می‌دهد. این نوع کمانش معمولاً در بخشی از پوسته که در مجاورت کف مخزن است (روبوروی بخش بلندشده مخزن)، ایجاد می‌شود. این بخش از پوسته مخزن تحت اثر تنفس دومحوری، تنش‌های حلقوی و قائم قرار دارد. علاوه بر این، ورق کف مخزن از تغییرشکل شعاعی جداره‌ی قائم، تحت اثر فشار مابعد درون مخزن جلوگیری می‌کند، که این مستلزم سبب ایجاد خمش در پوسته می‌شود. وجود چنین لنگر خشمی در پوسته، سبب افزایش تمایل پوسته به کمانش می‌شود.

۵. آسیب دیدگی سقف: نیروی ارتعاشی زلزله باعث ارتعاش مخزن و مابعد داخل آن می‌شود. ارتعاش امواج با بسامدی خیلی پایین تراز بسامد جداره، ولی با دامنه‌ی زیاد رخ می‌دهد و متأثر از ارتعاش جداره نیست. در این حالت اگر پیش‌بینی‌های لازم در نظر گرفته نشود، جداره‌ی سقف صدمه می‌بیند و محتويات درونی مخزن به بیرون پاشیده می‌شود و یا با ضربه‌ی شدید به قسمت‌هایی از نگهدارنده‌های سقف صدمه می‌زند. عامل کنترل کننده‌ی این آسیب، ارتفاع موج است.<sup>[۱۵]</sup>

۶. بلندشدنگی کف: این آسیب دیدگی از عوامل متعددی ناشی می‌شود، که مهم‌ترین آنها نسبت ارتفاع به قطر و ضخامت جداره کف مخزن هستند. بلندشدنگی کف مخزن در صورتی که از مقدار مجاز آن (۳۰ سانتی‌متر)،<sup>[۱۶]</sup> بیشتر شود، ممکن است باعث پارگی جداره‌ی کف مخزن و یا شکستگی لوله‌ی متصل به آن شود.<sup>[۱۷]</sup>

۷. نشست نامتقارن بستر: این آسیب دیدگی در اثر ضربه‌ی ناشی از بلندشدنگی کف مخزن ناشی می‌شود، به طوری که بخشی از خاک زیر مخزن دچار نشست می‌شود.

شايان ذكر است که افزودن تیغه‌های فولادی می‌تواند نسبت به تخفیف مدهای شکست فوق الذکر مؤثر باشد، که این موضوع نیازمند مطالعات فراتر است. با بررسی رفتار مخازن در زلزله‌های گذشته می‌توان دریافت که تلاطم سیال، یکی از شایع‌ترین علل خرابی‌های به وجود آمده در زلزله‌های به‌وقوع پیوسته از سال ۱۹۳۳ به بعد است.<sup>[۱۸]</sup> برای کنترل تلاطم سیال در هنگام وقوع زلزله در صورت عدم استفاده از ابزار کاهش ارتفاع تلاطم، فقط ویسکوزیته سیال در میرایی نقش خواهد داشت.<sup>[۱۹]</sup> در این حالت رعایت ضوابط آین نامه از قبیل ایجاد محفظه‌ی تانویه برای سررین، رعایت ارتفاع سطح آزاد، و همچنین طراحی سقف مخازن برای تحمل فشارهای ناشی از تلاطم امری اجتناب‌ناپذیر است. راه دیگر استفاده از تیغه‌های فولادی (Baffle) است، که پیشتر در مخازن حمل سوت خود مورد استفاده قرار گرفته‌اند؛ لیکن، این تیغه‌ها در مخازن فولادی استوانه‌یی روزمیانی به ندرت مورد استفاده قرار گرفته‌اند.

## ۲. مطالعات پیشین در خصوص مخازن با تیغه‌ی فولادی

شروع مطالعات بر روی تیغه‌های میراگر به مطالعات سازمان ملی هوانوردی آمریکا بر می‌گردد.<sup>[۲۰]</sup> اما اولین بار در پژوهشی در سال ۱۹۵۸<sup>[۲۱]</sup> ضریب میرایی حاصل از تیغه‌های رینگی در مخازن استوانه‌یی عمودی تحت اثر تحریک افقی به شکل

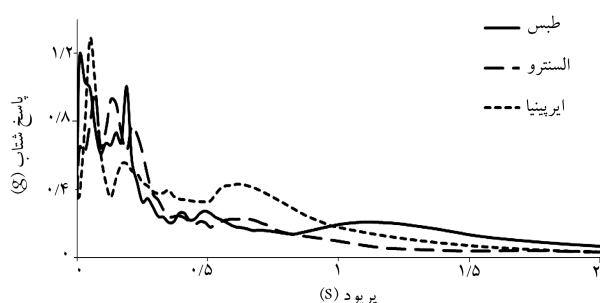


جدول ۱. مشخصات هندسی و مکانیکی مخزن مقیاس شده ( $\lambda_L = 16$ ).

ردیف	شرح	مقدار	پارامتر
۱	قطر مخزن (متر)	$1/2$	$D$
۲	ضخامت جداره‌ی مخزن و تیغه‌های فولادی (میلی‌متر)	۲	
۳	ضخامت ورق کف مخزن (میلی‌متر)	۱۰	$b$
۴	ارتفاع جداره‌ی مخزن (متر)	$1/25$	$H_W$
۵	ارتفاع پُزشکی سیال (متر)	$1/2 - 1 - 0/8 - 0/6$	$H$
۶	چگالی سیال ( $\text{Kg}/\text{m}^3$ )	۱۰۰۰	$\rho$
۷	جرم سیال (کیلوگرم)	۱۳۵۷، ۱۱۳۱، ۹۰۵، ۶۷۸ و	$m$
۸	مدول کشسانی مخزن (Mpa)	۲۱۰۰۰	$E$
۹	جرم کل مدل (کیلوگرم)	۱۵۶۲	$w$

#### جدول ۲. مشخصات زلزله‌های استفاده شده در آزمایش دینامیکی.

زمان زلزله	بزرگا	فاصله از کانون	PGA	مدت زمان
		(km)	(g)	(sec)
طبس (ایران)	۱۹۷/۸	۷/۴	۰/۸۵۲	۳۲/۷۸
الستنزو (آمریکا)	۱۹۴	۷/۲	۰/۳۱۸	۳۱/۱۶
ایرپینیا (ایتالیا)	۱۹۸۰/۲۲	۶/۵	۰/۳۱۳	۴۰

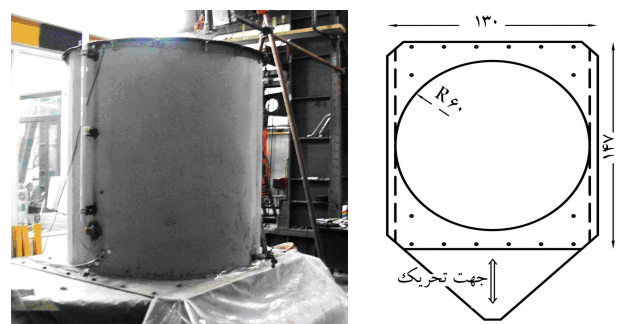


شکل ۳. طیف پاسخ زلزله‌ی طبس، الستترو و ایرپینیا (میرانجی ۵٪ و مقیاس هم پایه‌سازی ۰/۴ g).

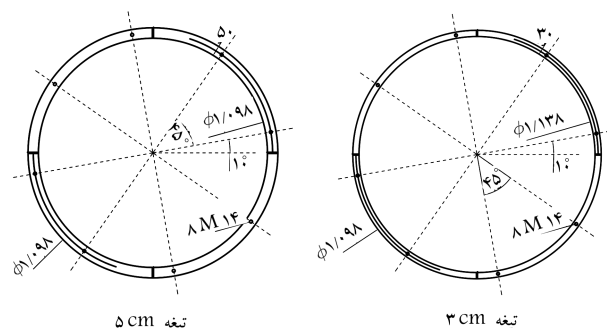


شکل ۴. محل قرارگیری حسگرهای ورودی مخزن روی میز لرزان و دوربین برای ثبت ارتعاشات تلاطم سیال.

مدل با مقیاس واقعی ۴ برابر کاهاش می‌باشد.  
برای ثبت ارتعاشات از دستگاه DMCPLUS ۸ کاناله استفاده شده است،  
که ۴ کانال به شتاب سنج، ۲ کانال به جایه‌جایی سنج و ۲ کانال به کرنش سنج  
ختصاص یافته است. برای بدست آوردن تلاطم سیال از روش برداشت به وسیله‌ی  
دوربین با کیفیت HD استفاده شده است. نمایی از موقعیت حسگرهای دوربین  
ثبت ارتعاشات در شکل ۴ نشان داده شده است. شایان ذکر است که  
عدد از شتاب سنجها به صورت قائم « روی میز لرزان در دو طرف مخزن قرار



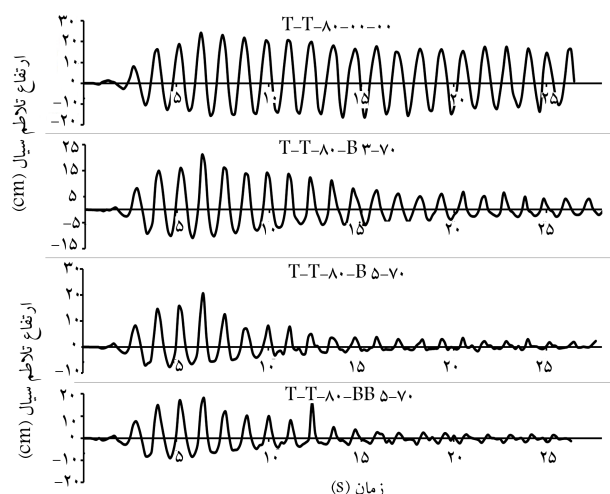
شکل ۱. پلان هندسی میز لرزان و نمای مخزن نصب شده بر روی آن.



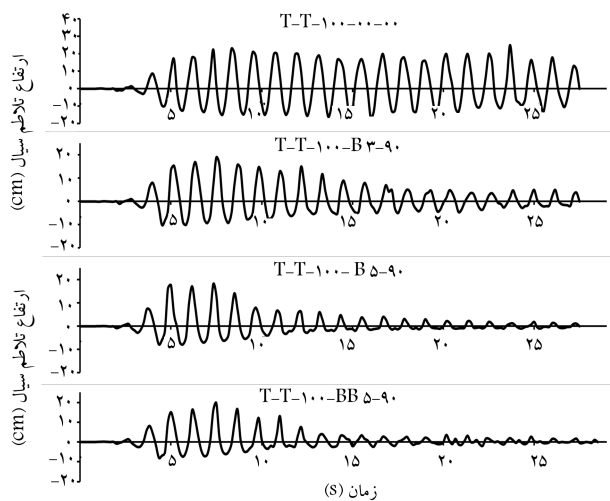
شکاری خواسته هزار و تغییرات شدید آنها باشند.

۱۱۰ و ۱۱۴ سانتی متر بوده است. به عبارت دیگر، نسبت عرض تیغه به شعاع مخزن معادل ۲/۵٪ و ۴/۲٪ بوده است، که در شکل ۲ نشان داده شده است.

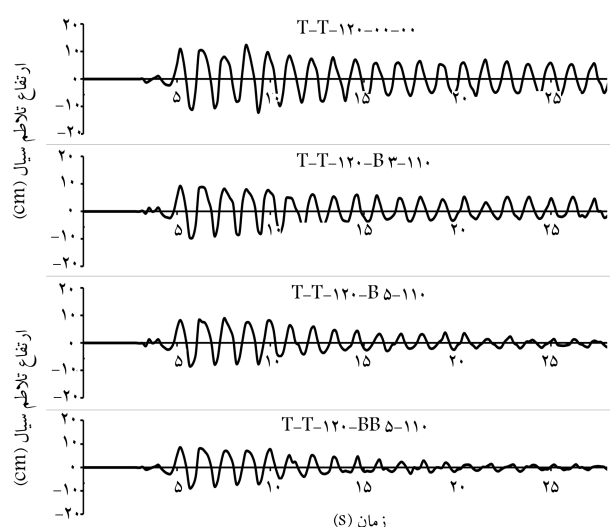
از میان رکوردهای ثبت شده از زلزله های گذشته، مؤلفه افقی طولی ۳ زلزله‌ی الستترو (آمریکا)، طبس (ایران)، و ایرپینیا (ایتالیا) برای آزمایش میز لرزان انتخاب شده است. هر ۳ زلزله در خاک نوع II طبق استاندارد ۲۸۰° زلزله ایران قرار داشته‌اند. مشخصات زلزله‌های مذکور در جدول ۲ آرائه شده است. بیشینه‌ی شتاب افقی زلزله‌های ذکر شده (PGA) به مقدار ۰/۴ g هم‌بایه شده و طیف پاسخ شتاب آن ها برای میارای ۵٪ در شکل ۳ نشان داده شده است. شایان ذکر است که با توجه به ضریب مقیاس هندسی مخزن ( $\lambda_L = 16$ ) ضریب مقیاس زمانی برای مخزن مقیاس شده ( $\frac{1}{\lambda} = \lambda_L$ ) در نظر گرفته شده است. ضریب ذکر شده بیان‌گر آن است که بارامتر زمان مانند فواصل، زمانی، رکورددهای زلزله در مدل مقیاس شده نسبت به



شکل ۶. تاریخچه‌ی زمانی تلاطم سیال مخزن موردنظر تحت زلزله‌ی طبس در ارتفاع سیال ۸۰ سانتی‌متر در حالت با و بدون تیغه.



شکل ۷. تاریخچه‌ی زمانی تلاطم سیال مخزن موردنظر تحت زلزله‌ی طبس در ارتفاع سیال ۱۰۰ سانتی‌متر در حالت با و بدون تیغه.



شکل ۸. تاریخچه‌ی زمانی تلاطم سیال مخزن موردنظر تحت زلزله‌ی طبس در ارتفاع سیال ۱۲۰ سانتی‌متر در حالت با و بدون تیغه.

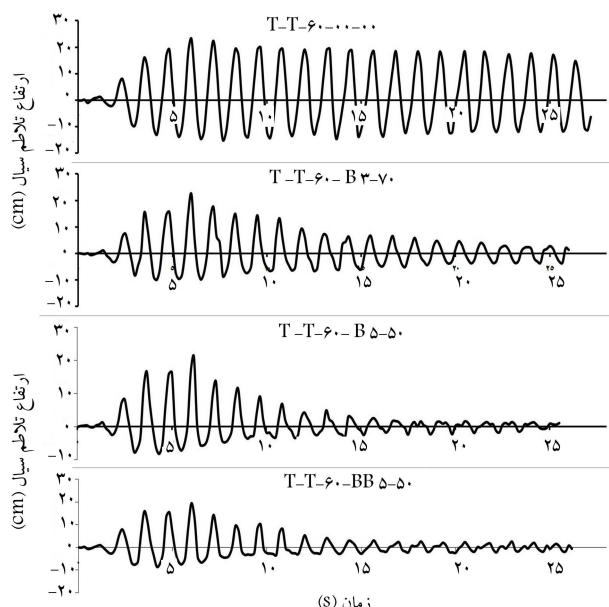
داده شده‌اند تا ارتعاشات عمودی ناخواسته‌ی میز قابل بررسی باشد. برای ثبت ارتعاشات نوسانی سیال، از نرم‌افزار استفاده و فیلم‌ها به صورت فریم به فریم قرابت شده‌اند.

### ۳.۳. نامگذاری مدل‌های آزمایش مخزن موردنظر

با توجه به اینکه پارامترهای مختلف در آزمایش‌های مختلف مدنظر است، لذا از کدگذاری ویژه‌ی استفاده شده است. برای نامگذاری مدل‌های آزمایش از کدگذاری ۵ بخشی استفاده شده است، که با خط تیره (-) از هم جدا شده‌اند. بخش اول، در تمام نامگذاری‌های حرف T است. بخش دوم، عبارت تک‌حروفی است و بیان‌گر نوع حریک لرزه‌ی اعمال شده به میز به صورت E (Elcentro), T (Tabas) و (Irpinia) I تعریف شده است. بخش سوم، عدد ۲ یا ۳ رقی است، که بیان‌گر عرض تیغه‌ی تکی یا BB به معنی تیغه‌ی دوبل با عدد بعد از آن که بیان‌گر عرض تیغه بر حسب سانتی‌متر است. بخش چهارم، ترکیب حروف B به معنی تیغه‌ی میراگر فوکانی را از کف مخزن نشان می‌دهد ۳ رقی است که ارتفاع تیغه‌ی میراگر فوکانی را عنوان مثال، کد T-T-100-B 3-۹۰ (۱۱۰، ۱۰۰، ۹۰، ۷۰ و ۵۰). به عنوان مثال، کد T-T-100-B 3-۹۰ بیان‌گر آزمایش مخزن تحت زلزله‌ی الستترو و ارتفاع سیال ۱۰۰ سانتی‌متر در حالت تیغه‌ی ۳ سانتی‌متری است، که در ارتفاع ۹۰ سانتی‌متری از کف مخزن قرار دارد.

### ۴. تعیین بیشینه‌ی ارتفاع تلاطم سیال

نمونه‌ی از نتایج تاریخچه‌ی زمانی تلاطم سیال در ناحیه‌ی ارتعاش اجباری و ارتعاش آزاد مربوط به آزمایش‌های مخزن موردنظر تحت زلزله‌ی طبس در شکل‌های ۵ الی ۸ نشان داده شده است، که در آن‌ها کاهش دامنه‌ی تلاطم سیال نسبت به زمان قابل مشاهده است. به علاوه می‌توان کاهش بیشتر دامنه‌ی تلاطم سیال را در



شکل ۵. نمونه‌ی نتایج تاریخچه‌ی زمانی تلاطم سیال مخزن موردنظر تحت زلزله‌ی طبس با ارتفاع سیال ۶۰ سانتی‌متر در حالت‌های با و بدون تیغه‌ی فولادی.

حالات هایی که از تیغه دوبل ۵ سانتی متری استفاده می شود، نسبت به حالت متناظر آنها با تیغه تک ۳ سانتی متر و تیغه تک ۵ سانتی متری مشاهده کرد.

بیشینه ای ارتفاع تلاطم سیال در مخزن موردنظر تحت زلزله طبیعی در ارتفاعات سیال، ۶۰، ۸۰ و ۱۰۰ سانتی متر در حالت بدون تیغه به ترتیب برابر ۲۳/۲، ۲۴/۳ و ۱۲/۱ سانتی متر است، این مقادیر برای مخزن مجذب به تیغه ها کاهاش قابل توجهی دارند، به طوری که در حالت استفاده از تیغه دوتایی ۵ سانتی متر، میزان تلاطم سیال به مقادیر ۱۹/۴، ۱۸، ۱۹/۶ و ۸ سانتی متر کاهاش می یابد.

با جمع بندی نتایج آزمایش های مختلف از نظر نوع زلزله، نوع تیغه، و ارتفاع سیال خلاصه بی از مقادیر بیشینه ای ارتفاع تلاطم سیال در جدول ۳ خلاصه شده است. همچنین در جدول مذکور، درصد کاهاش بیشینه ای ارتفاع تلاطم سیال در هر یک از آزمایش ها ارائه شده است.

بررسی نتایج جدول ۳ نشان می دهد که وجود تیغه های میراگر فولادی، اثراست قابل توجهی در کاهاش ارتفاع تلاطم سیال دارد. به عنوان مثال، در حالت وجود تیغه دوتایی ۵ سانتی متری، بیشینه ای ارتفاع تلاطم در حدود ۴۵٪ نسبت به حالت بدون تیغه کاهاش یافته است. این کاهاش در حالات تیغه تک ۳ سانتی متری و تک ۵ سانتی متری به ترتیب برابر ۲۹٪ و ۴۳٪ بوده است.

## ۵. نتیجه گیری

در این پژوهش، یک مدل مقیاس شده از مخزن فولادی استوانه بی با ضربی مقیاس هندسی ( $\lambda_L = 16$ ) تحت آزمایش های دینامیکی روی میز لرزان قرار گرفته است. ضربی مذکور بیانگر نسبت ابعاد هندسی مخزن واقعی (مانند قطر ارتفاع ...) به مخزن مقیاس شده است. مخزن موردمطالعه در حالت های مختلف بدون تیغه و با تیغه تکی و دوبل و با عمق های مختلف سیال تحت اثر ۳ زلزله و رودی الستترو، طبیعی، و ایرپینیا آزمایش شده است. با بررسی نتایج حاصل از آزمایش های مختلف نظری: بسامدهای ارتعاشی و ضربی میرایی مودهای نوسانی و ضربانی، این نتایج حاصل شده است:

۱. میرایی مود نوسانی سیال در مخزن بدون تیغه در حدود ۴٪ بوده است، که قدری کمتر از مقدار آین نامه (۵٪) است.

۲. با افزودن تیغه های میراگر حلقوی، ضربی میرایی مود نوسانی حدود ۴ الی ۶ برابر در حالت تیغه تکی و در حدود ۸ برابر در حالت تیغه دوبل نسبت به مخزن بدون تیغه میراگر افزایش یافته است.

۳. بیشینه دامنه ای ارتعاش سیال متناسب با افزایش میرایی مود نوسانی سیال در مخزن دارای تیغه میراگر، کاهاش قابل توجهی پیدا کرده است؛ به طوری که این کاهاش در حالت مخزن دارای تیغه تکی به حدود ۲۰ الی ۳۰ درصد و در حالت تیغه دوبل به حدود ۴۵٪ رسیده است.

۴. مقادیر افزایش میرایی و کاهاش دامنه ای ارتعاش سیال تحت زلزله های مختلف متفاوت و در زلزله هایی که باعث نوسانات پردازه ای سیال می شوند، میرایی بیشتر بوده است.

جدول ۳. بیشینه ای ارتفاع تلاطم و درصد کاهاش ارتفاع تلاطم سیال در مخزن مورد آزمایش در حالت های مختلف.

ردیف	نام آزمایش	آزمایش (cm)	حاصل از تلاطم نسبت به حالت بدون تیغه	بیشینه ای ارتفاع تلاطم سیال	درصد کاهاش
۱	T-T-۶۰۰۰۰۰	۲۲/۲	-	-	-
۲	T-T-۶۰-۳-۵۰	۲۲/۴	۳/۴۵	-	-
۳	T-T-۶۰-۳-۵۰	۲۱/۱	۹/۰۵	-	-
۴	T-T-۶۰-BB۵-۵۰	۱۹/۴	۱۶/۳۸	-	-
۵	T-E-۶۰۰۰۰۰	۵	۱۲	۲/۴۵	-
۶	T-E-۶۰-۳-۵۰	۴/۴	۱۴	۹/۰۵	-
۷	T-E-۶۰-۳-۵۰	۴/۳	۲۰	۱۶/۳۸	-
۸	T-E-۶۰-۳-۵۰	۴	-	۱۹/۴	-
۹	T-I-۶۰۰۰۰۰	۱۰/۲	-	۱۲	۲/۴۵
۱۰	T-I-۶۰-۳-۵۰	۷/۲	۲۹/۴۱	۷/۲	-
۱۱	T-I-۶۰-۳-۵۰	۷/۱	۳۰/۳۹	۷/۱	-
۱۲	T-I-۶۰-BB۵-۵۰	۷	۳۱/۳۷	۷	-
۱۳	T-I-۸۰-۰۰۰۰۰	۲۴/۳	-	۲۴/۳	۲/۴۵
۱۴	T-T-۸۰-۳-۷۰	۲۱	۱۳/۵۸	۲۱	۹/۰۵
۱۵	T-T-۸۰-۳-۷۰	۲۰/۵	۱۵/۶۴	۱۸	۱۶/۳۸
۱۶	T-T-۸۰-۳-۷۰	۱۸	۲۵/۹۳	۱۸	۹/۰۵
۱۷	T-E-۸۰۰۰۰۰	۴/۸۵	-	۱۳/۵۸	۱۲
۱۸	T-E-۸۰-۳-۷۰	۴/۷	۳/۰۹	۴/۷	۹/۰۵
۱۹	T-E-۸۰-۳-۷۰	۳/۹	۱۹/۰۹	۳/۹	۱۶/۳۸
۲۰	T-E-۸۰-BB۵-۷۰	۳/۳	۳۱/۹۶	۳/۳	۹/۰۵
۲۱	T-I-۸۰-۰۰۰۰۰	۱۱/۵	-	۱۵/۶۴	۱۳/۵۸
۲۲	T-I-۸۰-۳-۷۰	۱۰	۱۵/۳۸	۱۰	۹/۰۵
۲۳	T-I-۸۰-۳-۷۰	۷/۵	۴۳/۰۸	۷/۵	۹/۰۵
۲۴	T-I-۸۰-BB۵-۷۰	۷/۱	۴۵	۷/۱	۹/۰۵
۲۵	T-T-۱۰۰۰۰۰۰	۲۲	-	۱۷/۳۹	۱۵/۶۴
۲۶	T-T-۱۰۰-۳-۹۰	۱۹	۱۷/۳۹	۱۹/۰۹	۹/۰۵
۲۷	T-T-۱۰۰-۳-۹۰	۱۸/۲	۲۰/۸۷	۱۸/۲	۹/۰۵
۲۸	T-T-۱۰۰-BB۵-۹۰	۱۶/۶	۲۷/۸۲	۱۶/۶	۹/۰۵
۲۹	T-E-۱۰۰-۰۰۰۰۰	۵	-	۲۲	۹/۰۵
۳۰	T-E-۱۰۰-۳-۹۰	۳/۹	۲۲	۳/۹	۹/۰۵
۳۱	T-E-۱۰۰-۳-۹۰	۳/۷	۲۶	۳/۷	۹/۰۵
۳۲	T-E-۱۰۰-BB۵-۹۰	۳/۵	۳۰	۳/۵	۹/۰۵
۳۳	T-I-۱۰۰-۰۰۰۰۰	۱۱/۵	-	۱۳/۰۴	۹/۰۵
۳۴	T-I-۱۰۰-۳-۹۰	۱۰	۱۳/۰۴	۱۰	۹/۰۵
۳۵	T-I-۱۰۰-۳-۹۰	۷/۵	۳۴/۷۸	۷/۵	۹/۰۵
۳۶	T-I-۱۰۰-BB۵-۹۰	۷/۱	۳۸/۲۶	۷/۱	۹/۰۵
۳۷	T-T-۱۲۰-۰۰۰۰۰	۱۲/۱	-	۲۱/۴۹	۹/۰۵
۳۸	T-T-۱۲۰-۳-۱۱۰	۹/۵	۲۱/۴۹	۹/۵	۹/۰۵
۳۹	T-T-۱۲۰-۳-۱۱۰	۸/۳	۳۱/۴	۸/۳	۹/۰۵
۴۰	T-T-۱۲۰-BB۵-۱۱۰	۸	۳۳/۸۸	۸	۹/۰۵
۴۱	T-E-۱۲۰-۰۰۰۰۰	۶	-	۲۸/۳۳	۹/۰۵
۴۲	T-E-۱۲۰-۳-۱۱۰	۴/۳	۲۸/۳۳	۴/۳	۹/۰۵
۴۳	T-E-۱۲۰-۳-۱۱۰	۴/۵	۲۵	۴/۵	۹/۰۵
۴۴	T-E-۱۲۰-BB۵-۱۱۰	۴/۵	۲۵	۴/۵	۹/۰۵
۴۵	T-I-۱۲۰-۰۰۰۰۰	۱۱	-	۲۱/۸۲	۹/۰۵
۴۶	T-I-۱۲۰-۳-۱۱۰	۱۰/۳	۶/۳۶	۱۰/۳	۹/۰۵
۴۷	T-I-۱۲۰-۳-۱۱۰	۹/۳	۱۵/۴۵	۹/۳	۹/۰۵
۴۸	T-I-۱۲۰-BB۵-۱۱۰	۸/۶	۲۱/۸۲	۸/۶	۹/۰۵

## منابع (References)

- ASCE, Guidelines for Seismic Evaluation and Design of Petrochemical Facilities (2003).
- Haroun, M.A. and Housner, G.W. "Model for flexible tanks undergoing rocking", *J. Eng. Mech.*, **111**(2), pp. 143-157 (1985).
- Hosseinzadeh, N., Kazem, H., Ghahremannejad, M., Ahmadi, E. and Kazem, N. "Comparison of API650-2008 provisions with FEM analyses for seismic assessment of existing steel oil storage tanks", *J. of Loss Prevention in the Process Industries*, **26**(4), pp. 666-675 (2013).
- Iranian Seismic Design Code for Oil Industries*, 2nd Edition, seismic Design of oil facilities code 038-2rd (2010).
- Cooper, T.W., *A Study of the Performance of Petroleum Storage Tanks During Earthquakes: 1933-1995*, Report No. NIST GCR 97-720, U.S. Department of Commerce (1997).
- Ziyaifar, M. and Maleki, A. "Sloshing damping in cylindrical liquid storage tank with baffle", *J. of Sound and Vib.*, **311**(1-2), pp. 732-385 (2008).
- Brevoort, M.J. "Energy loss, velocity distribution, and temperature distribution for baffled cylindrical model", National Advisory Committee for Aeronautics, Technical Report Archive and Image Library Note No. 620 (1937).
- Miles, J.W. "Ring damping of free surface oscillations in a circular tank", *J. of Applied Mech.*, **25**, pp. 274-276 (1958).
- O'Neil, J.P. "Final report on an experimental investigation of sloshing", STL/TR-59-0000-09960, Space Tech., Lab., Inc. (4 March 1960).
- Stephens, D.G., Leonard, H.W. and Perry, T.W. "Investigation of the damping of liquids in ring circular-cylindrical tanks", Washington, D.C., National Aeronautics and Space Administration (NASA), TN D-1367 (1962).
- Garza, L.R. and Abramson, H.N. "Measurements of liquid damping provided by ring baffles in cylindrical tanks", Southwest Research Institute, Technical Report Prepared for NASA (1963).
- Pal, N.C., Bhattacharyya, S.K. and Sinha, P.K. "Non-linear coupled slosh dynamics of liquid-filled laminated composite containers: A two dimensional finite element approach", *J. Sound Vib.*, **261**(1), pp. 729-749 (2003).
- Kim, Y. "Numerical simulation of sloshing flows with impact load", *Appl. Ocean Res.*, **23**(1), pp. 53-62 (2001).
- Kim, Y., Shin, Y.-S. and Lee, K.H. "Numerical study on slosh-induced impact pressures on three-dimensional prismatic tanks", *Appl. Ocean Res.*, **26**(5), pp. 213-226 (2004).
- Biswal, K.C., Bhattacharyya, S.K. and Sinha, P.K. "Non-linear sloshing in partially liquid filled containers with baffles", *Int. J. for Numerical Methods in Eng.*, **68**(3), pp. 317-337 (2006).
- Liu, D. and Lin, P. "Three-dimensional liquid sloshing in a tank with baffles", *Ocean Eng.*, **36**(2), pp. 202-212 (2009).
- Xue, M.-A. and Lin, P. "Numerical study of ring baffle effects on reducing violent liquid sloshing", *Comput. Fluids*, **52**, pp. 116-129 (2011).
- Gavrilyuk, I., Lukovsky, I., Trotsenko, Y. and Timokha, A. "Sloshing in a vertical circular cylindrical tank with an annular baffle, Part 1: Linear fundamental solutions", *J. of Eng. Mathematics*, **54**(1), pp. 71-88 (2006).
- Maleki, A. and Ziyaifar, M. "Damping enhancement of seismic isolated cylindrical liquid storage tanks using baffles", *J. of Eng. Structures*, **29**(12), pp. 3227-3240 (2007).
- Bagci, T. "Examining pressure changing in cylindrical tanks caused by sloshing", M.S. Thesis, Istanbul Technical University, Istanbul, Turkey (2007).
- Bayer, A.M. "Design of annular baffles for suppressing the sloshing pressure in cylindrical storage tanks", M.S. Thesis, Istanbul Technical University, Istanbul, Turkey (2007).
- Younes, M.F., Younes, Y.K., El-Madah, M., Ibrahim, I.M. and El-Dannanh, E.H. "An experimental investigation of hydrodynamic damping due to vertical baffle arrangements in a rectangular tank", *Proc. Inst. Mech. Eng. Part M J. Eng. Marit. Environ.*, **221**(3), pp. 115-123 (2007).
- Panigrahy, P.K., Saha, U.K. and Maity, D. "Experimental studies on sloshing behavior due to horizontal movement of liquids in baffled tanks", *Ocean Eng.*, **36**(3-4), pp. 213-222 (2009).
- Yan, G., Rakheja, S. and Siddiqui, K. "Experimental study of liquid slosh dynamics in a partially-filled tank", *J. Fluids Eng.*, **131**(7), 14 p. (2009).
- Akyildiz, H., Enderm Unal, N. and Aksoy, H. "An experimental of effects of the ring baffles on liquid sloshing in a rigid cylindrical tank", *J. of Ocean Eng.*, **59**, pp. 190-197 (2013).
- API650, *Welded Steel Tank for Oil Storage*, American Petroleum Institute API Standard 650, 11TH Edition, Washington, USA (2008).